



# Spracovanie obrazu apl.

Andrej FERKO  
Comenius University Bratislava  
PG1, 7. 12. 2020, FMFI UK

# Príklad (Hearn-Baker, 2014, p. 376), logo UK

- Foto/sken, výpočet >> obraz, poličko, IFS
- Abstraktný obraz, funkcia
- $f(x, y)$ ,
- kde rovinné súradnice  $x, y$ ,
- Hodnota  $f$  výška/šedá
- Veta o reprezentácii, Fourier
- Digitalizácia, vzorkovanie, 1D

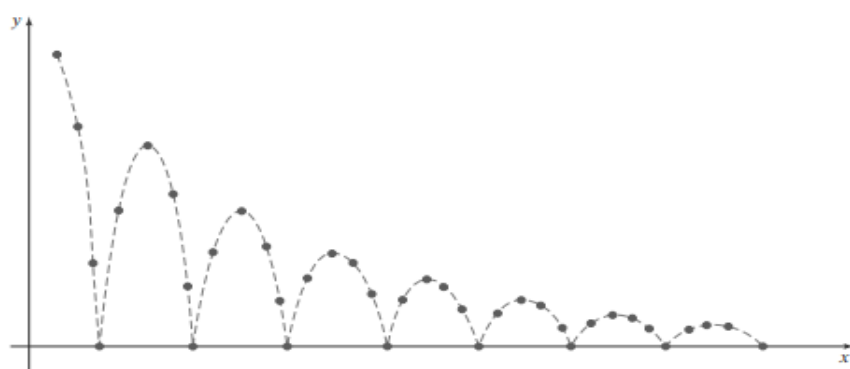
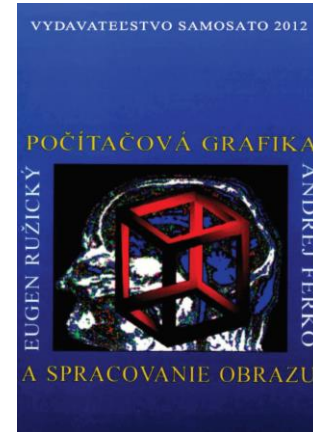
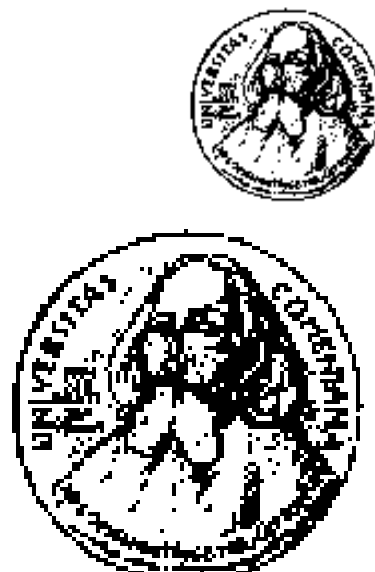
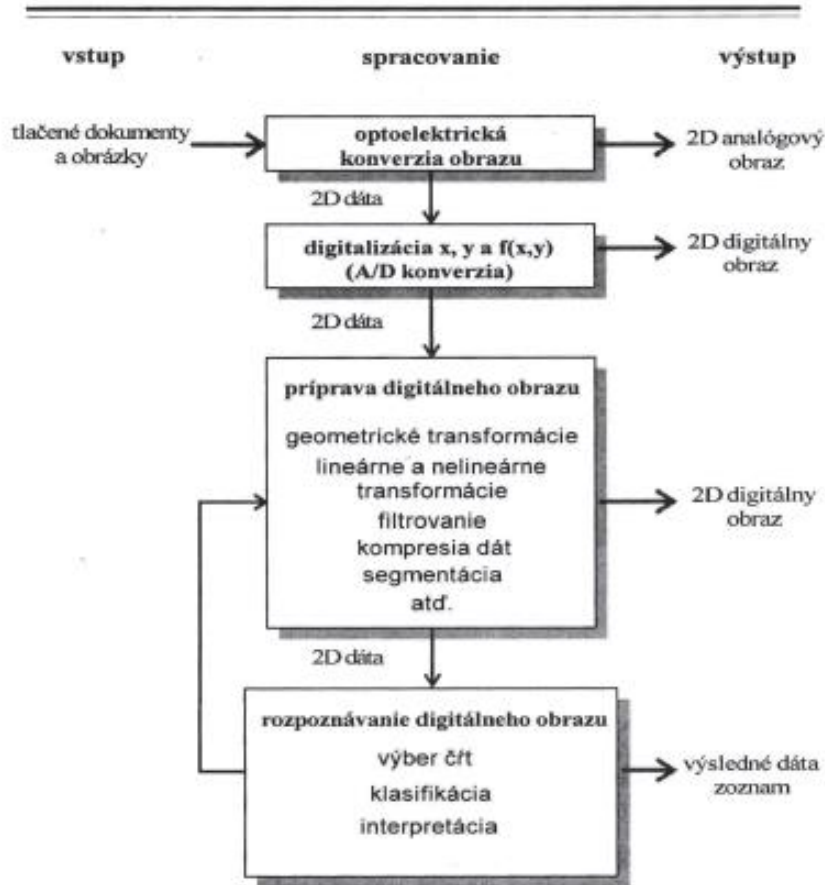


FIGURE 16  
Approximating the motion of a  
bouncing ball with a damped sine  
function (Eq. 10).

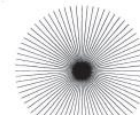
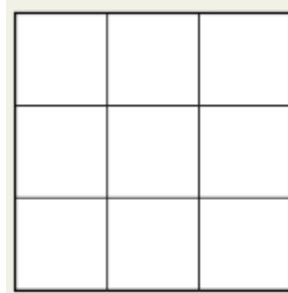


# Operácie

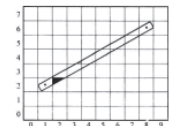
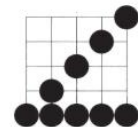
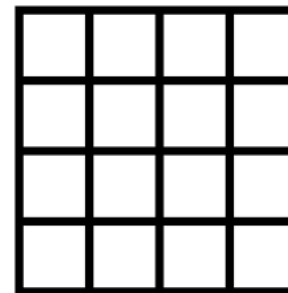
## Funkcie na spracovanie obrazu ( a dokumentov ) ( analýza obrazu )



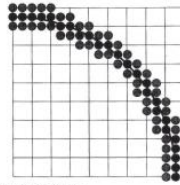
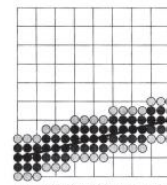
Obr. 1.6 Funkcie na spracovanie obrazu



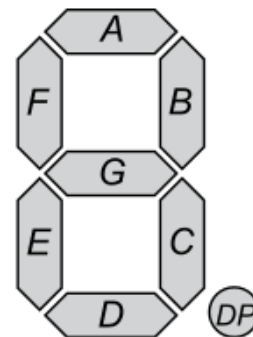
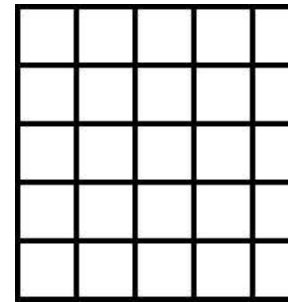
Obr. 5.4 Aliasing úsečiek



Obr. 5.5 Antialiasing úsečky

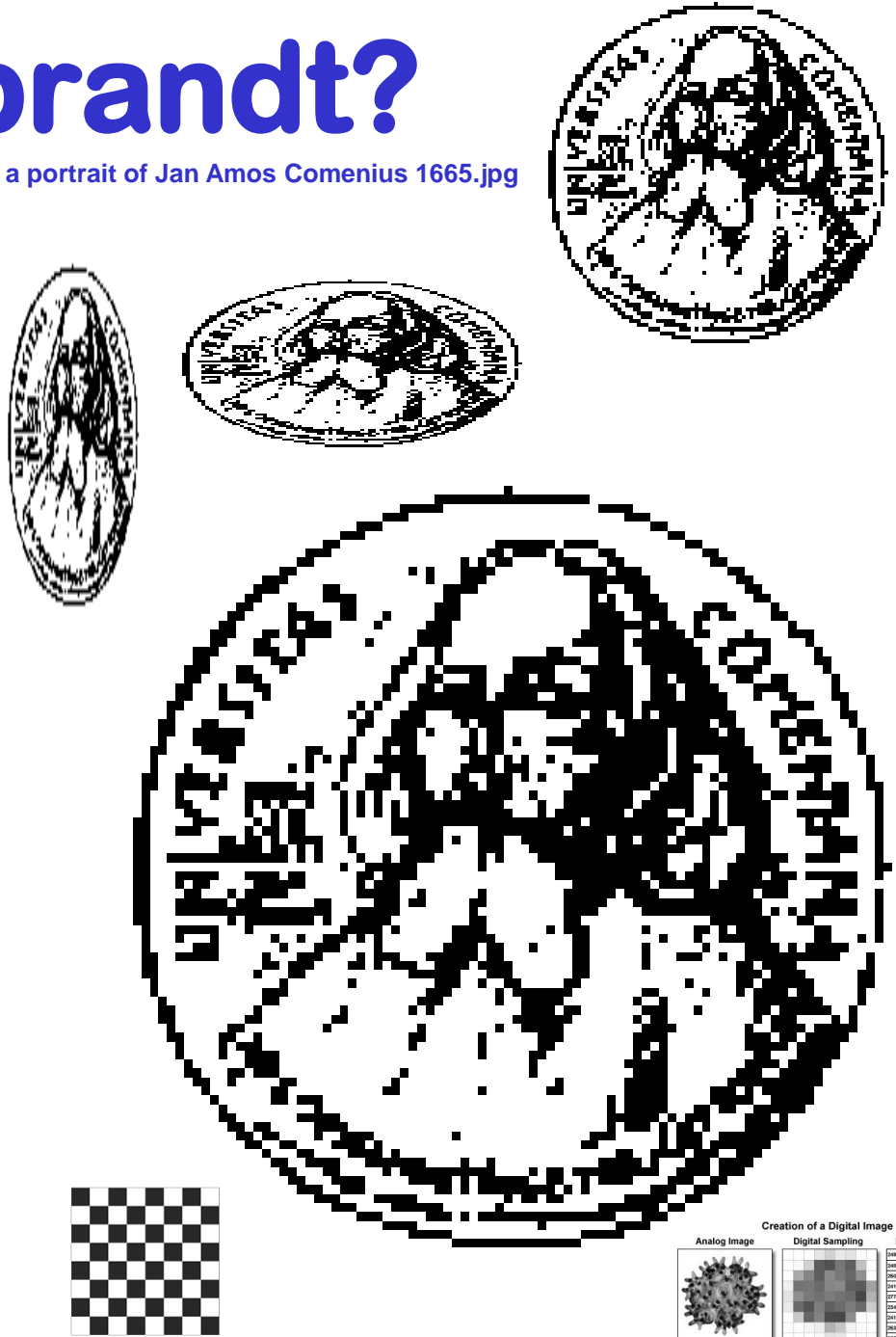


Obr. 5.6 Hrubé čiary pre vykreslenie úsečky a kružnice



# Rembrandt?

File:Rembrandt, Old Man, possibly a portrait of Jan Amos Comenius 1665.jpg



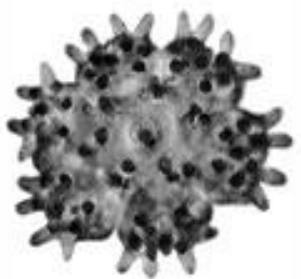
# 1665 >> Logo UK, metadáta, paradáta

File:Rembrandt, Old Man, possibly a portrait of Jan Amos Comenius 1665.jpg



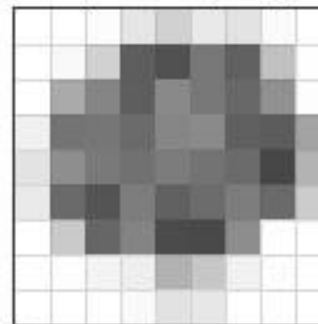
## Creation of a Digital Image

Analog Image



(a)

Digital Sampling



(b)

Pixel Quantization

249	244	240	230	209	233	227	251	255
248	245	210	93	81	120	97	193	254
250	170	133	94	137	120	104	145	253
241	116	118	107	134	138	96	92	163
277	142	121	113	124	115	107	71	179
234	106	84	125	97	108	125	106	204
241	202	102	132	75	73	141	246	252
253	252	244	239	178	199	242	250	245
255	249	244	250	226	231	240	251	253

(c)

Figure 1

Spatial Resolution Effect on Pixelation in Digital Images

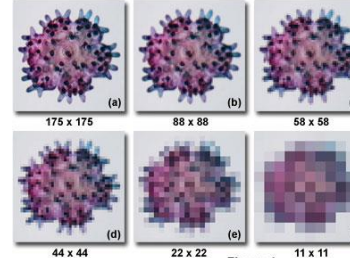
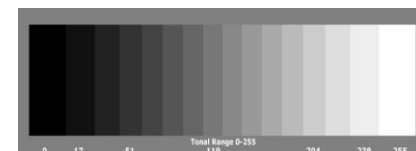
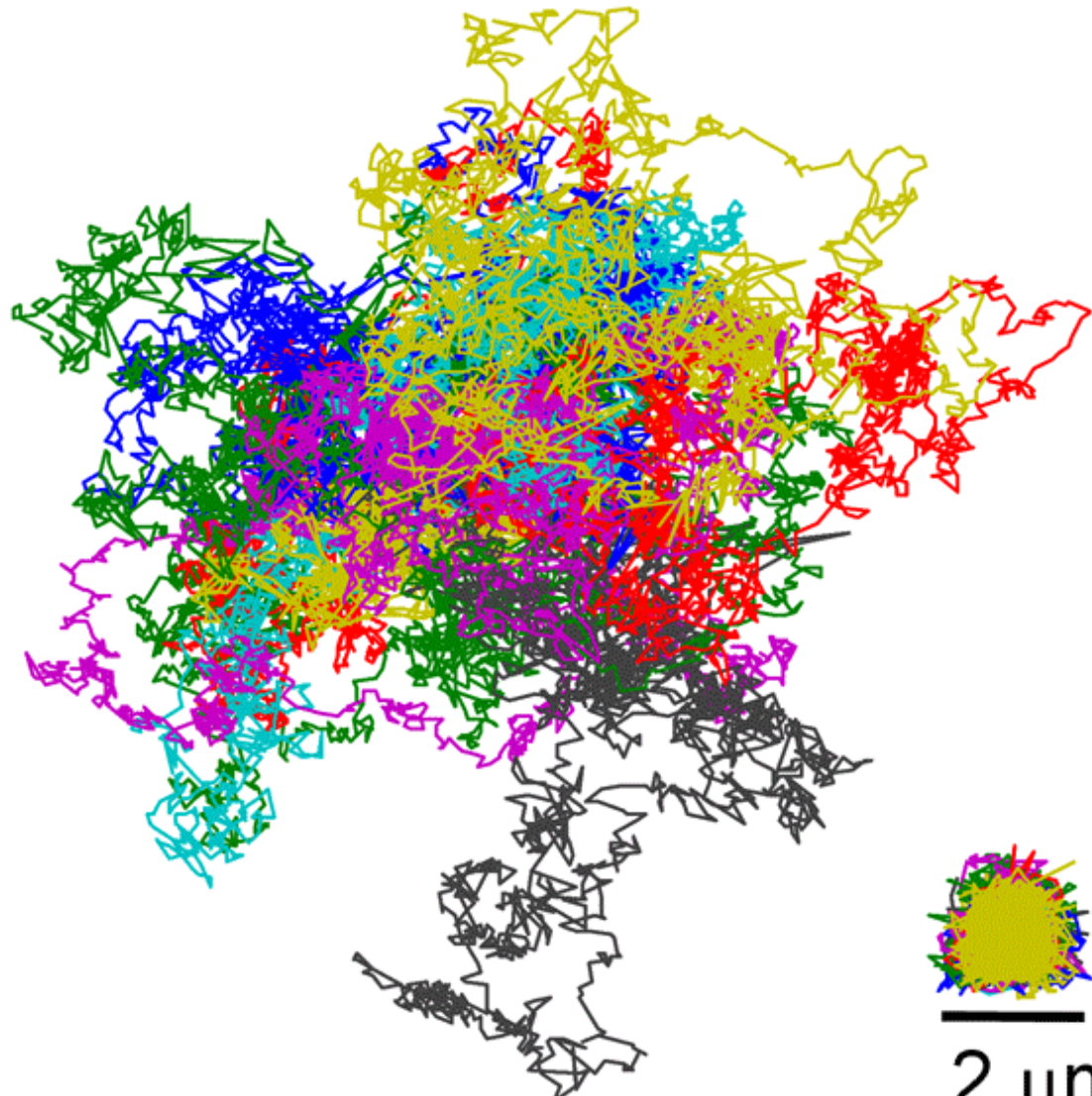


Figure 4

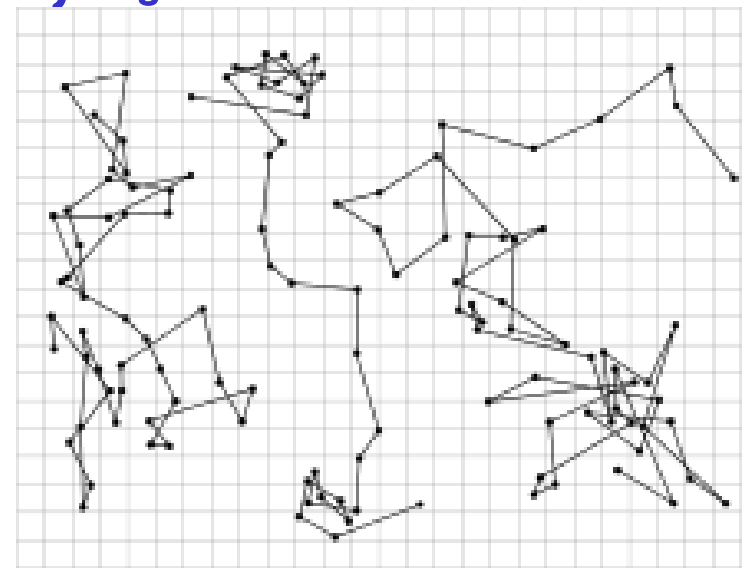


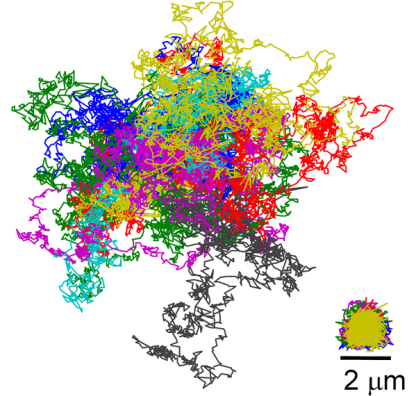
Hamamatsu <https://hamamatsu.magnet.fsu.edu/articles/digitalimagebasics.html>

# Brown, 1827, AE 1905, Page Rank Random Walk...

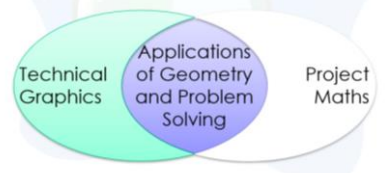


2  $\mu$ m





# Particle System



Google search results for "Particle System":

Q. Všetko Obrázky Videá Správy Mapy Viac Nastavenia Nástroje Zberky Bezpečné vyhľadávanie ▾

unity primordial particle spark ar unity particle emitter particle emitter unity3d animation unity 3d

Particle system - Wikipedia en.wikipedia.org Unity - The Particle System - Tutorialspoint tutorialspoint.com Flexible and performant Particle Systems in Unity... unity3d.com Self-feeding Particle System by David Torno - Pro... provideocoalition.com Particle Systems www2.cs.uregina.ca Particle System Overview - Valve Developer Commun... developer.valvesoftware.com

Blender Particle System Overview - ParticleSystems... particlesystems.net Flexible and performant Particle Systems in Uni... unity3d.com PRODUCE DAZZLING PARTICLE EFFECTS magzter.com Particle System Basic, by ... modelingcommons.org GitHub - skeeto/webgl-particles: Web... github.com Particle System | Animation | Dust Simulatio... m.youtube.com

Unity Particle System Overview - ParticleSystems.Net particlesystems.net Introduction to Particle Systems ... learn.unity.com Boris FX | BCC Particle System borisfx.com Introduction To Unity: Particle... raywenderlich.com Light 'Boids' Particle System - Finding Essence ivanrinaldo.weebly.com Primordial Particle Systems | Softology's Blog softologyblog.wordpress.com

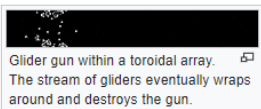
# Celular Automaton, LIFE

1. Any live cell with two or three live neighbours survives.
2. Any dead cell with three live neighbours becomes a live cell.
3. All other live cells die in the next generation. Similarly, all other dead cells stay dead.

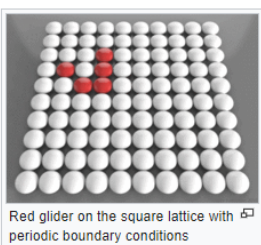
The initial pattern constitutes the seed of the system



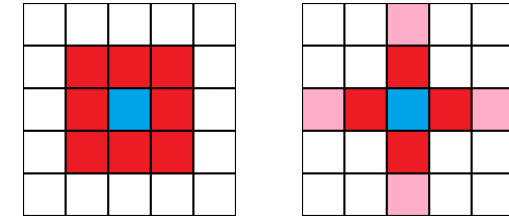
The Game of Life on the surface of a trefoil knot



Glider gun within a toroidal array.  
The stream of gliders eventually wraps around and destroys the gun.



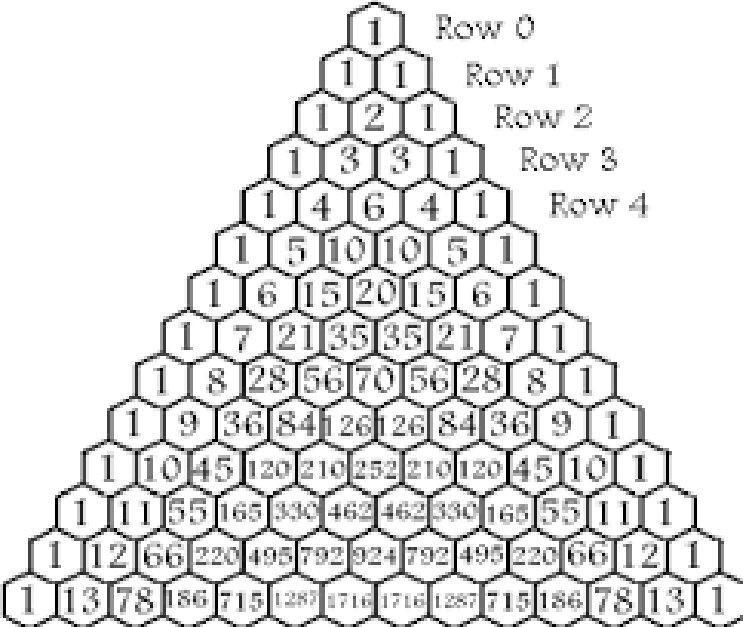
Red glider on the square lattice with periodic boundary conditions



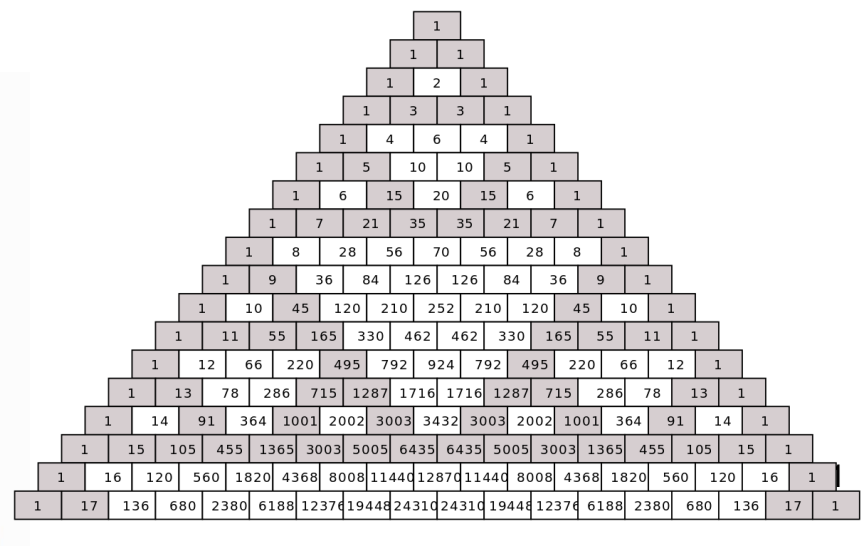
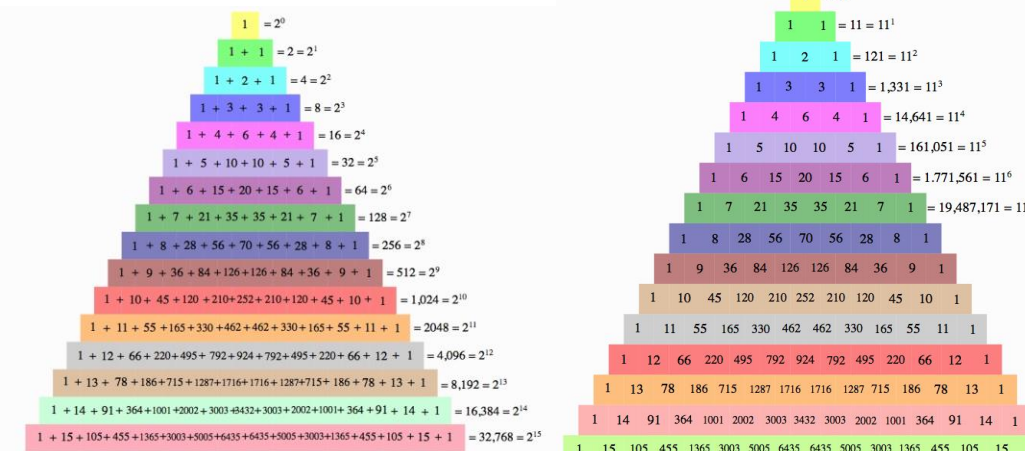
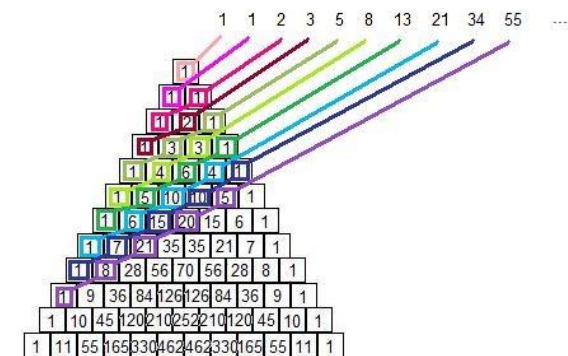
Still lifes	Oscillators	Spaceships
Block	Blinker (period 2)	Glider
Bee-hive	Toad (period 2)	Light-weight spaceship (LWSS)
Loaf	Beacon (period 2)	Middle-weight spaceship (MWSS)
Boat	Pulsar (period 3)	Heavy-weight spaceship (HWSS)
Tub	Penta-decathlon (period 15)	



Wiki Cel Aut

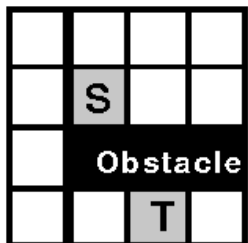


# Pascal, 1D CA

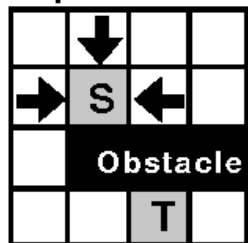


# Maze router, Lee

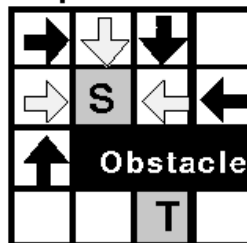
Initialization



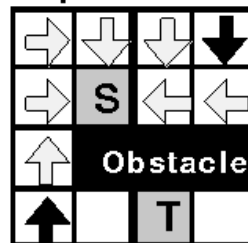
Expand 1



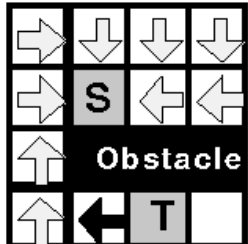
Expand 2



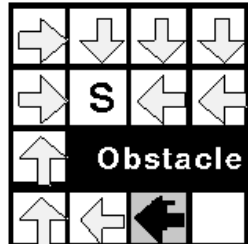
Expand 3



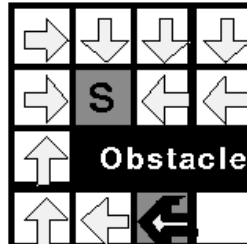
Expand 4



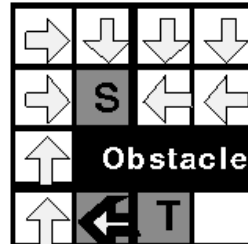
Expand 5



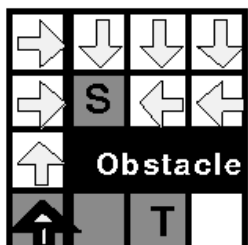
Backtrace 1



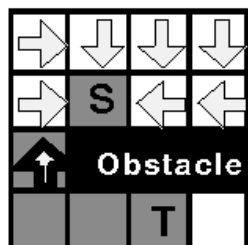
Backtrace 2



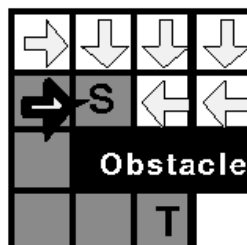
Backtrace 3



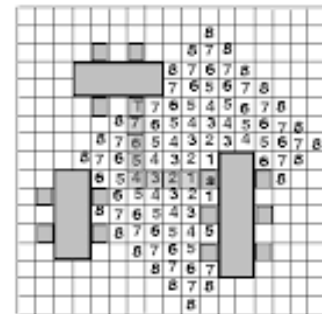
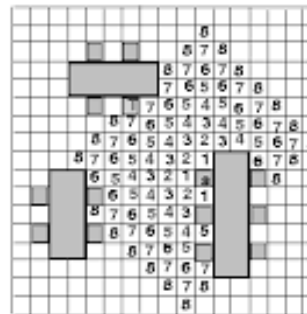
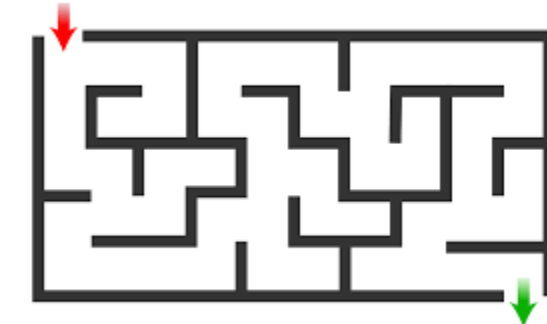
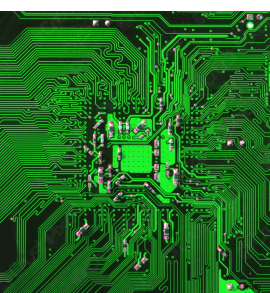
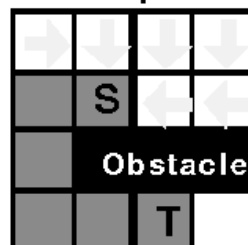
Backtrace 4



Backtrace 5

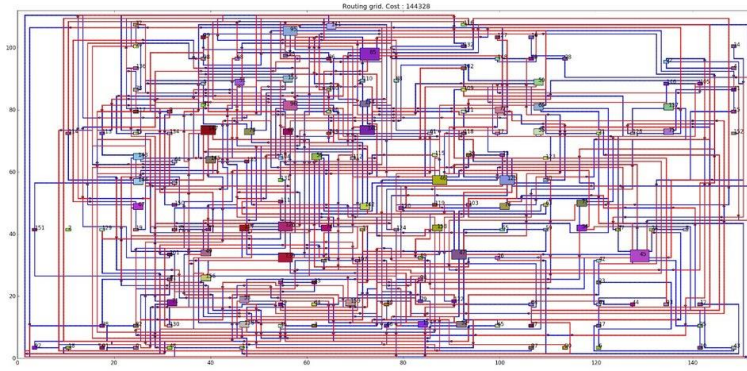
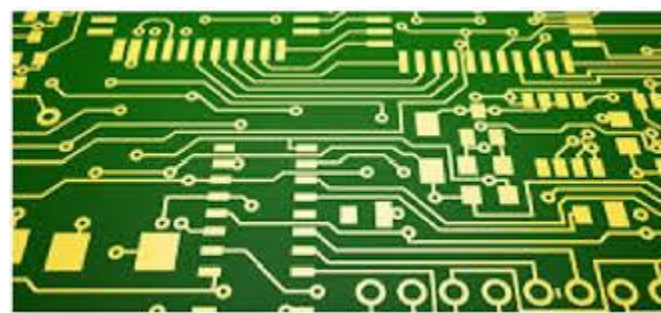


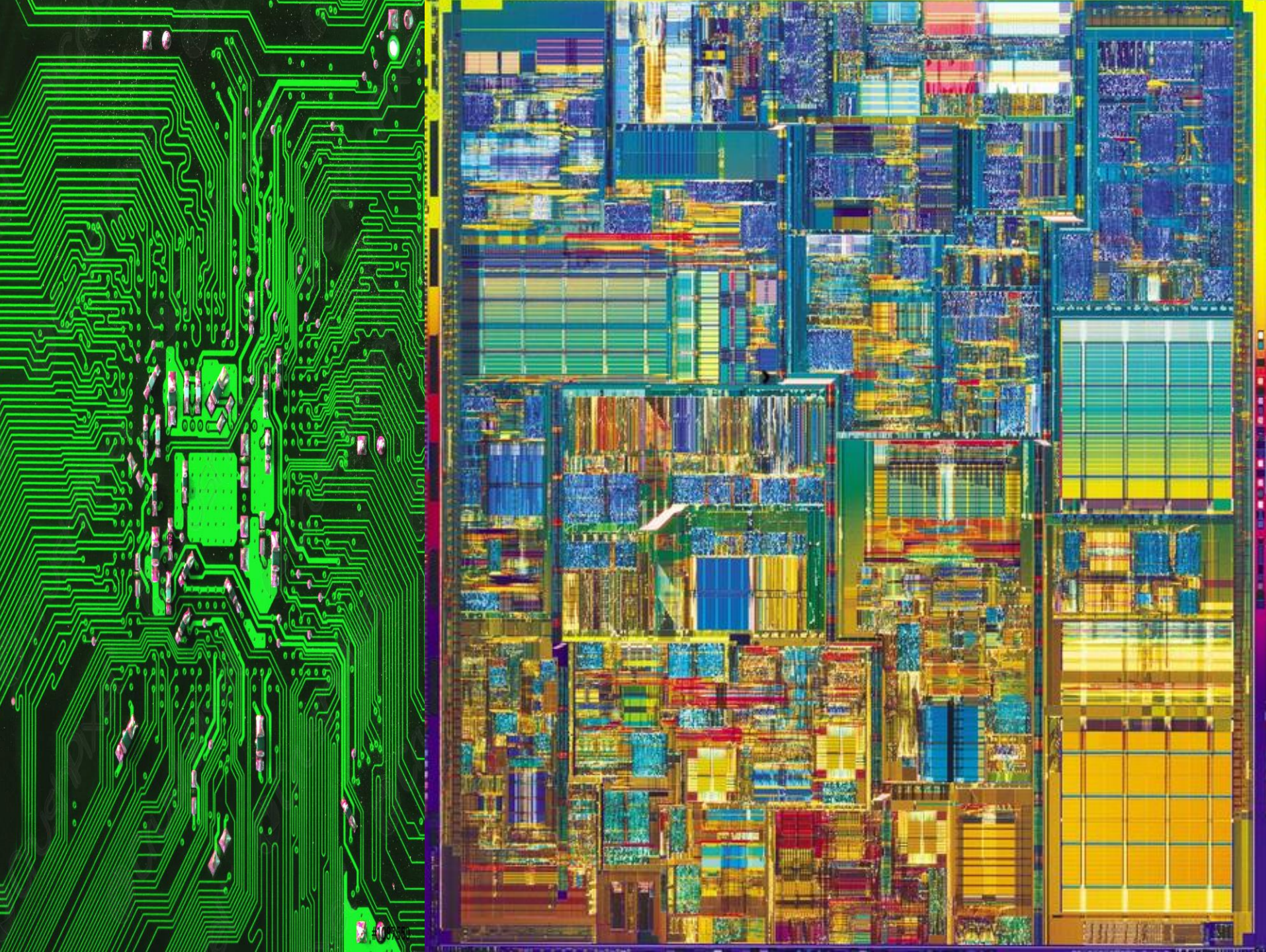
Cleanup



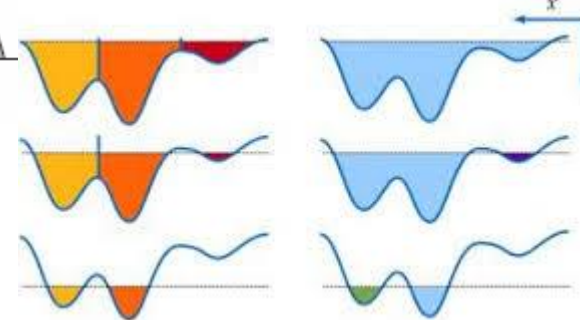
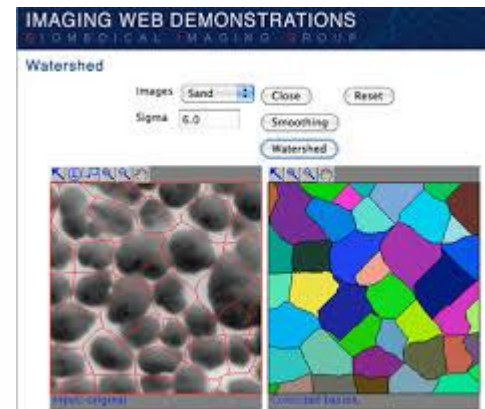
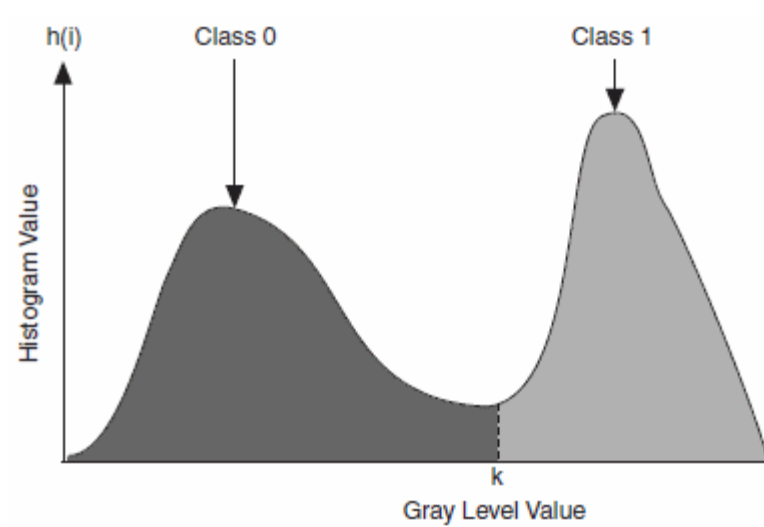
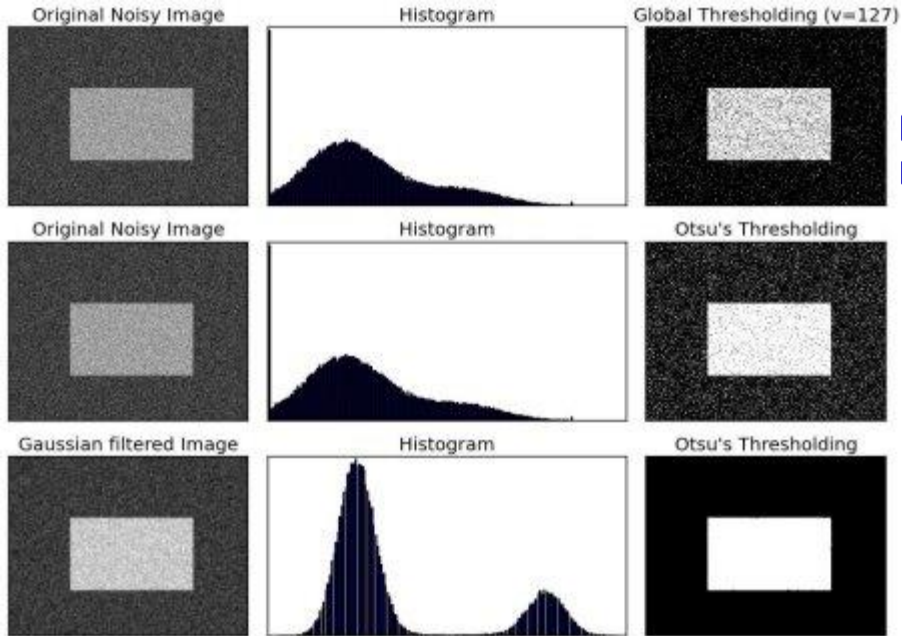
Filing

Retrace

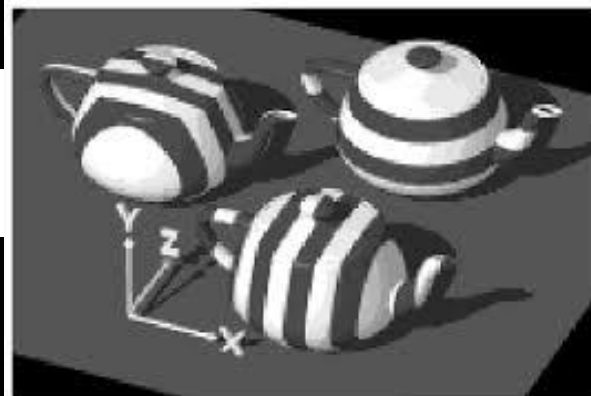
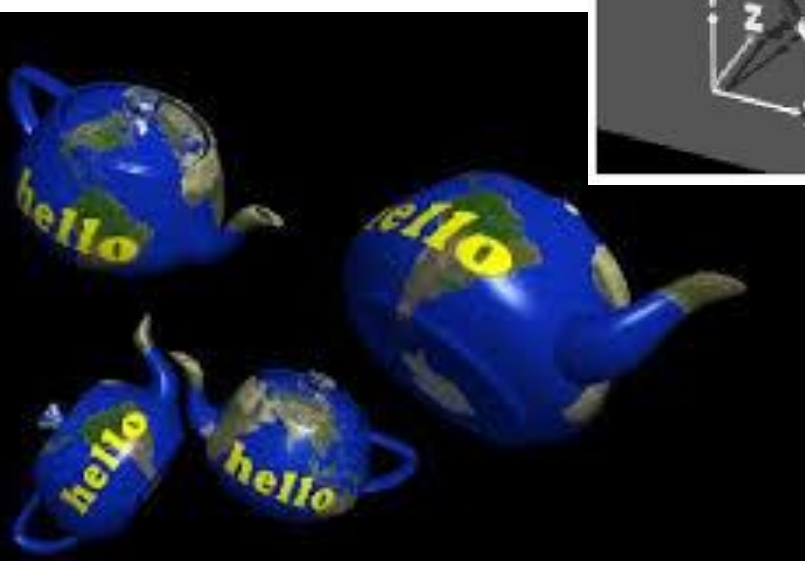
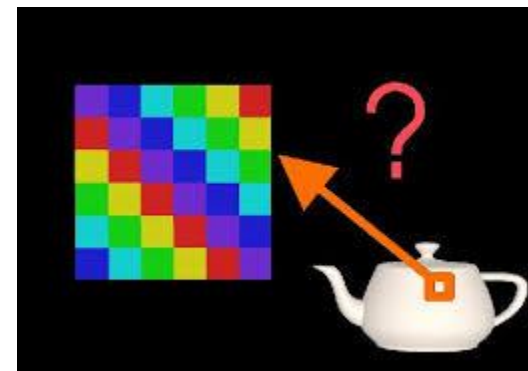
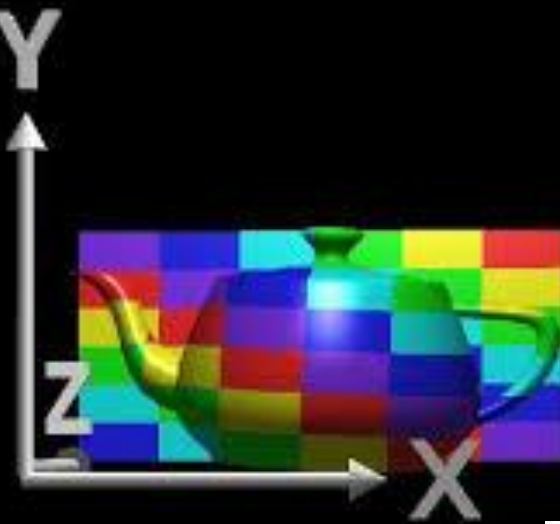




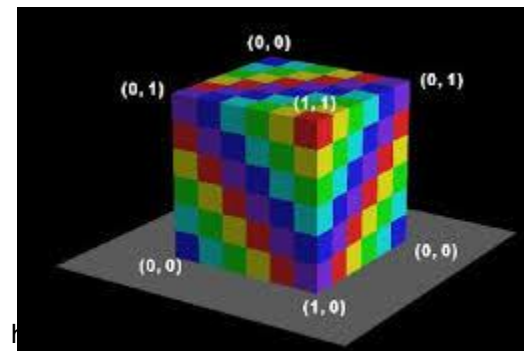
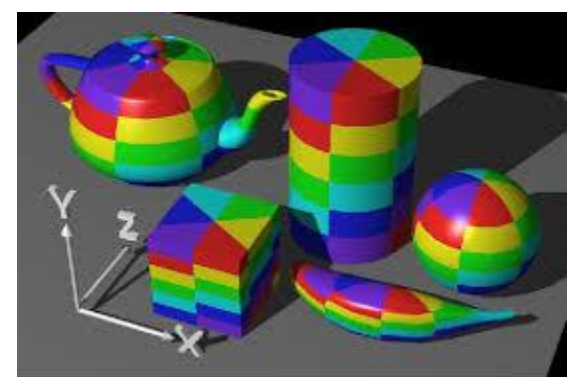
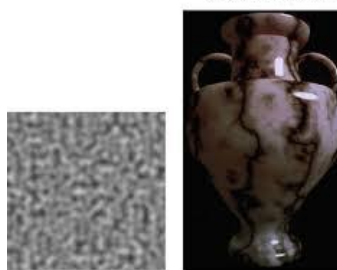
# Segmentation



# Wolfe, textures, Perlin



$(u+v) \bmod 3$   
in  $\{R, G, B\}$



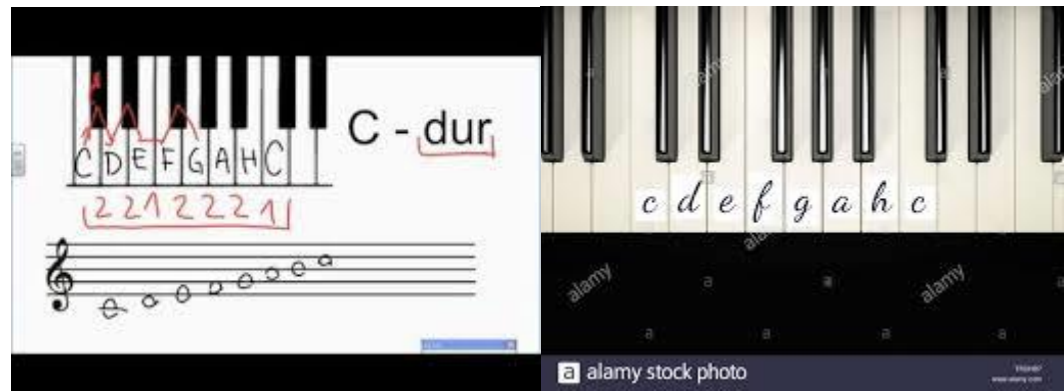
# 1D texture, $t_1 + t_2 + t_3 \bmod 7$ , “melody” CA

1. Select 3 values  $t_{1-3}$  of “Color” = {c, d, e, f, g, a, h} =<sub>def</sub> {0, 1, 2, 3, 4, 5, 6},
2.  $t_4 = (t_1 + t_2 + t_3) \bmod 7$ , resp.  $t_i = (t_{i-3} + t_{i-2} + t_{i-1}) \bmod 7$

“The initial pattern constitutes the seed of the system”

e.g. {0, 0, 0} generates {0, 0, ... }  
{0, 1, 2} generates {0, 1, 2, 3, 6... }

In total,  $343 = 7^3$  , folksongs in Central Europe



# A. Lindenmayer (1968)

- Use Formal Grammar for Organism Modeling
- 0L-system: triplet  $\langle V, w, P \rangle$ ,
- where  $V$  is an alphabet of symbols,
- $w$  (axiom) is the initial string, and
- $P$  is the set of (context free) production rules
- Example: axiom  $F$  (*draw the line segment*)
- Alphabet:  $F, +, -$  ( $+$  &  $-$  mean turn up or down)
- Rules:  $+ \rightarrow +, - \rightarrow -, F \rightarrow F+F--F+F$

# **David G. Green (1993)**

- Set of rules and symbols:
- 1. VARIABLES - can be replaced
- 2. CONSTANTS - fixed elements
- 3. RULES (“syntax”)
- 4. START

# David G. Green (1993)

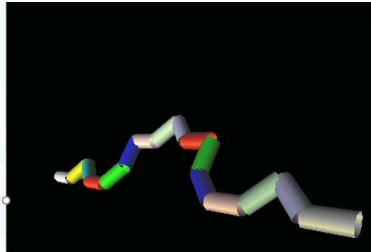
- Example: *Fibonacci numbers*
- *Variables*: A B
- *Constants*: none
- *Start*: A
- *Rules*: A   
B 

# David G. Green (1993)

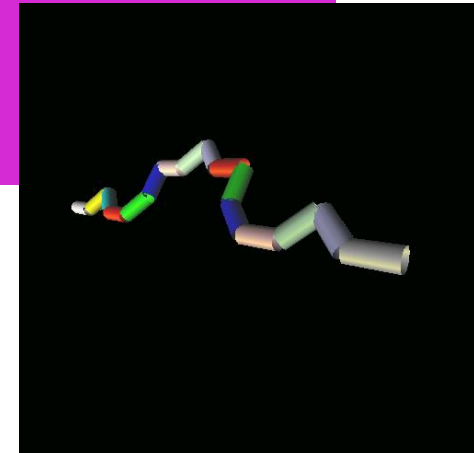
- Example: *Fibonacci numbers*
- *Stage 0 :* A
- *Stage 1 :* B
- *Stage 2 :* AB
- *Stage 3 :* BAB
- *Stage 4 :* ABBAB
- ...

# The power of L-systems

- We have to assign a meaning to the symbols and rules.
- The standard use is **Turtle Graphics** (Seymour Papert, LOGO)
- TURTLE is 2D or 3D cursor, having position and orientation, translation and rotation, draw and move modes, in device coordinates

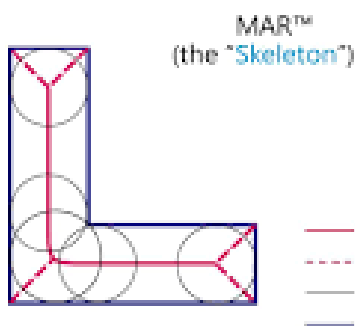


Armin Taschwer, TU Graz 2001



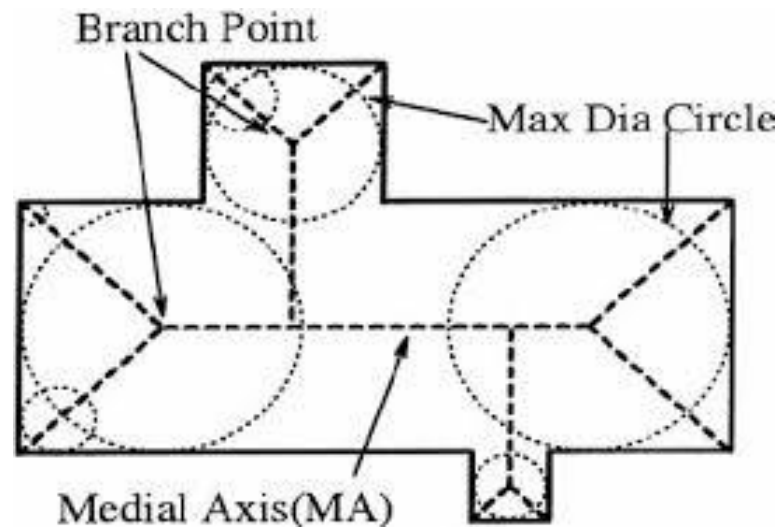
- By Armin Taschwer, TUG 2001
- Depth and grammar:
- Koch\_simple:
- D: 3
- G: Start: B
- B = A-A++A-A
- A = ++cF-cF++cF-cF--

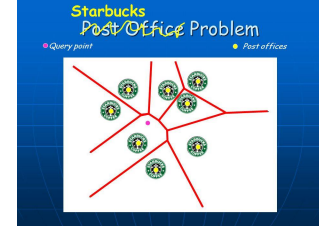
# Roof, medial axis, skeleton, prairie fire



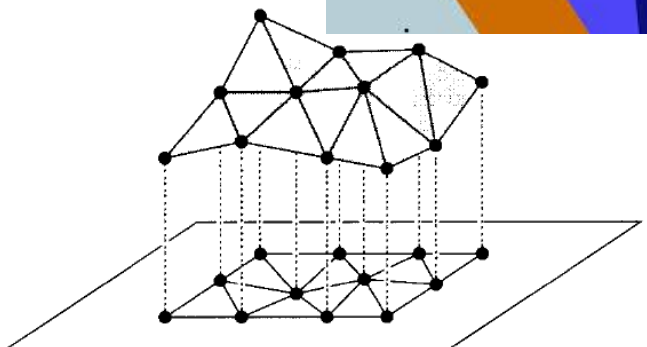
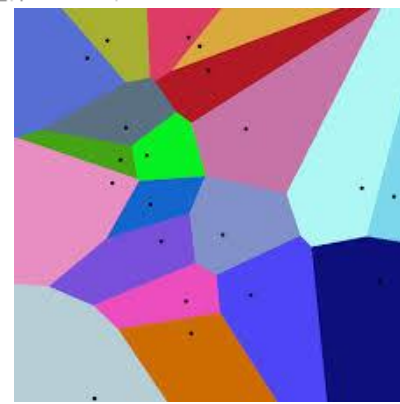
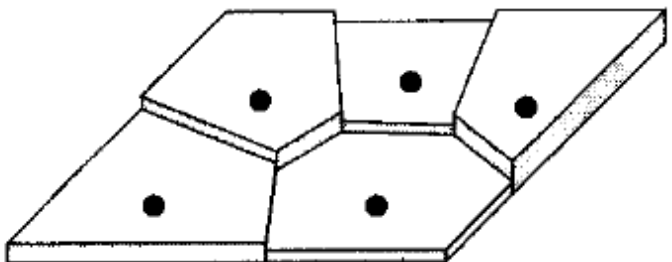
MAR™  
(the "Skeleton")  
= geometric location of  
maximum **spheres**  
inscribed in an object

- Medial Axis
- - - Wing edges
- Radius function
- Boundary Element





# 1D, 2D, many seeds, Voronoi, post office

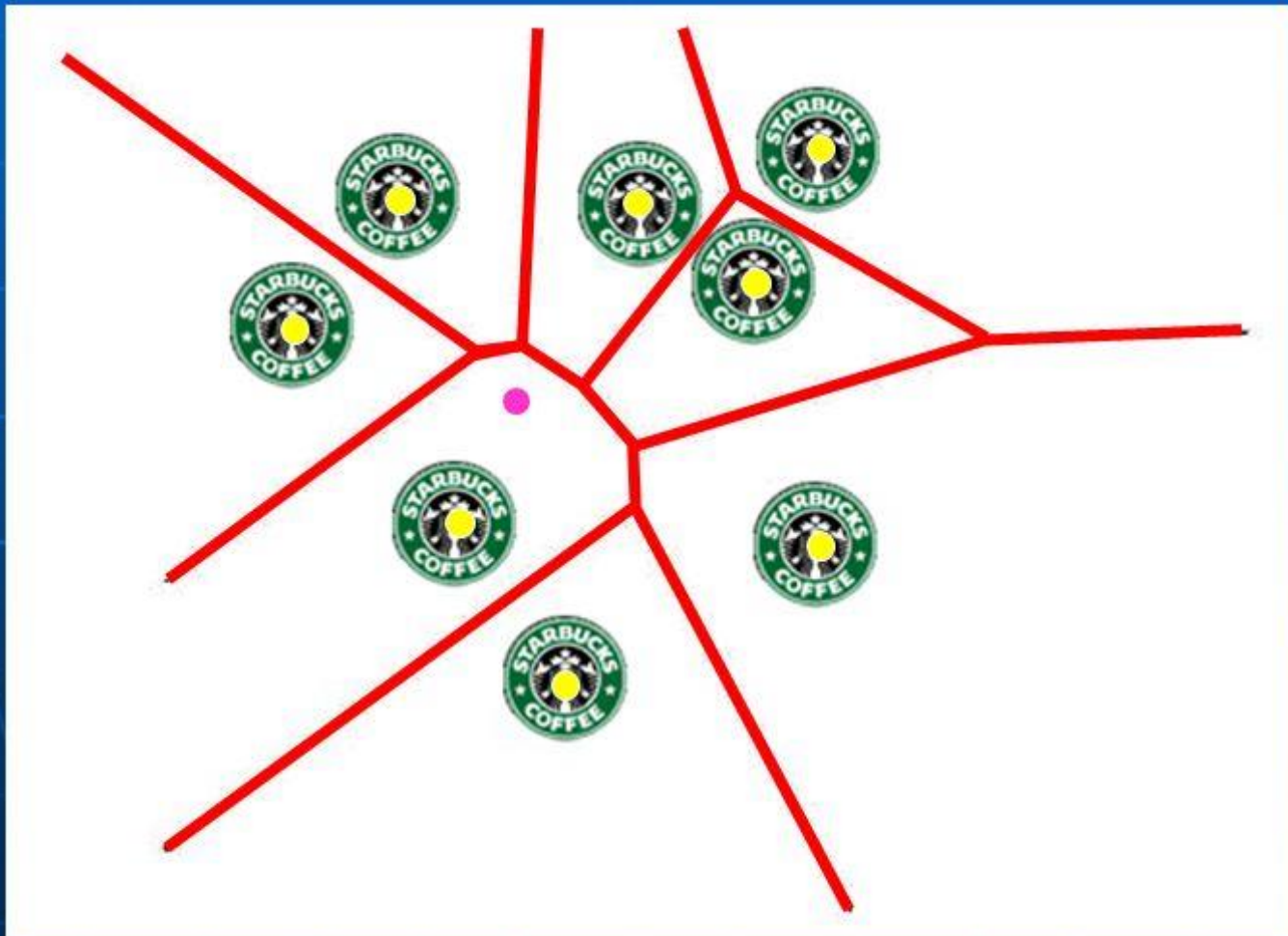


*Figure 9.2*  
Obtaining a polyhedral terrain from a  
set of sample points

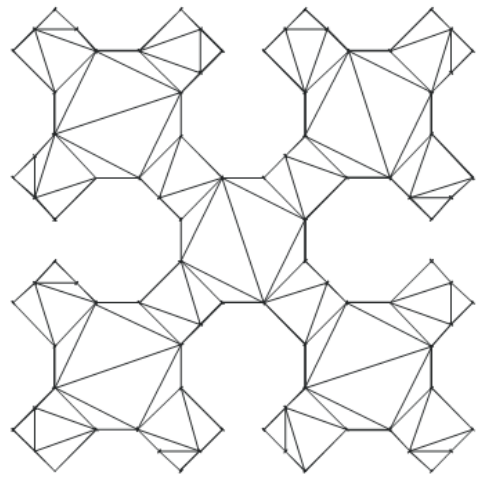
# Starbucks Post Office Problem

● *Query point*

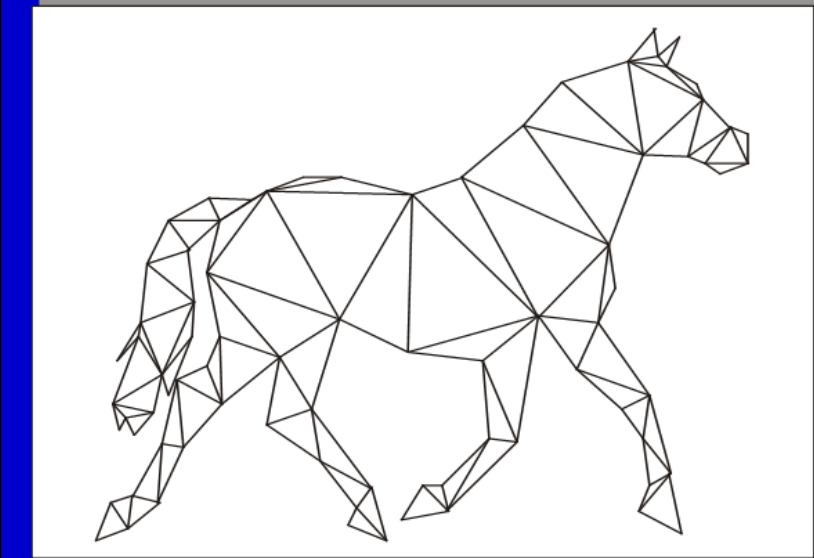
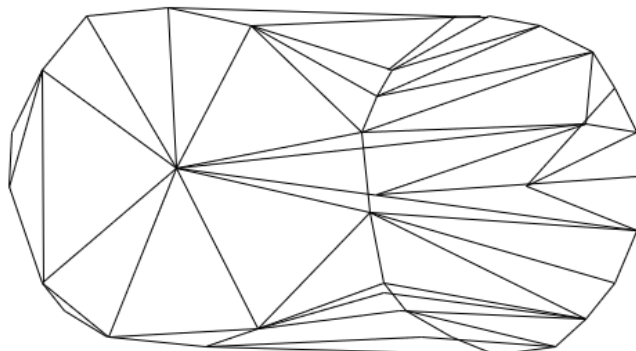
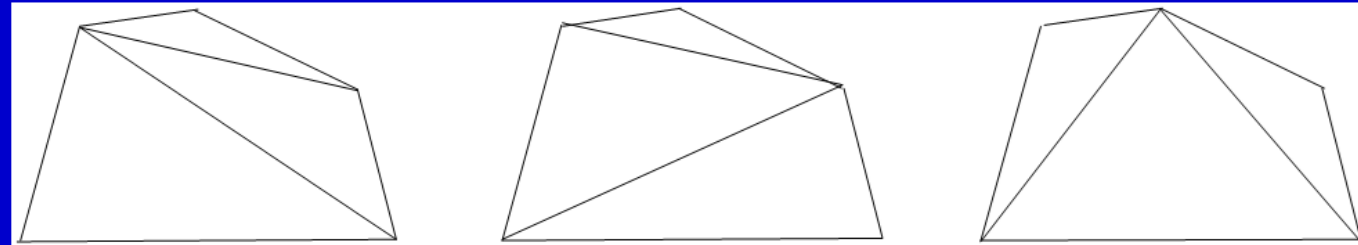
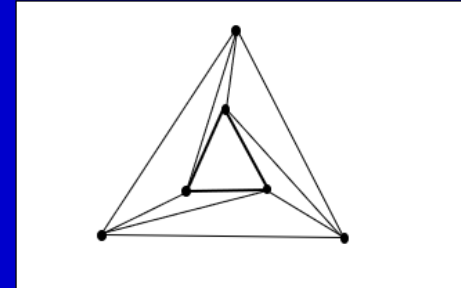
● *Post offices*

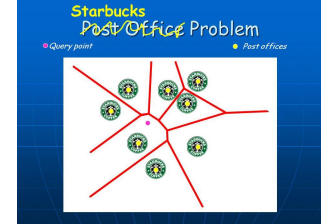


# *Planar Triangulations*



*Optimisation criteria, triangle ordering, art gallery...*

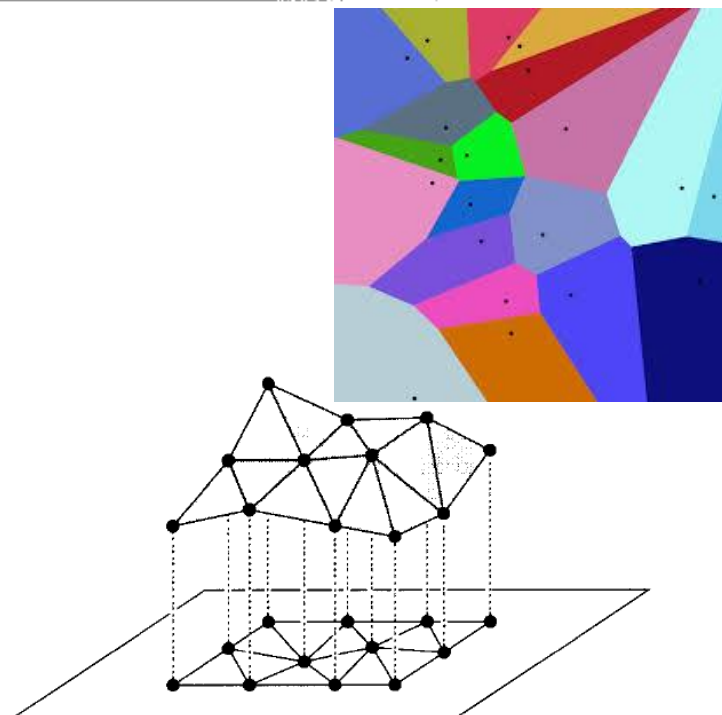
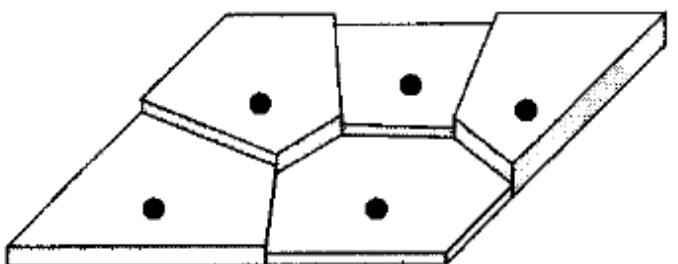




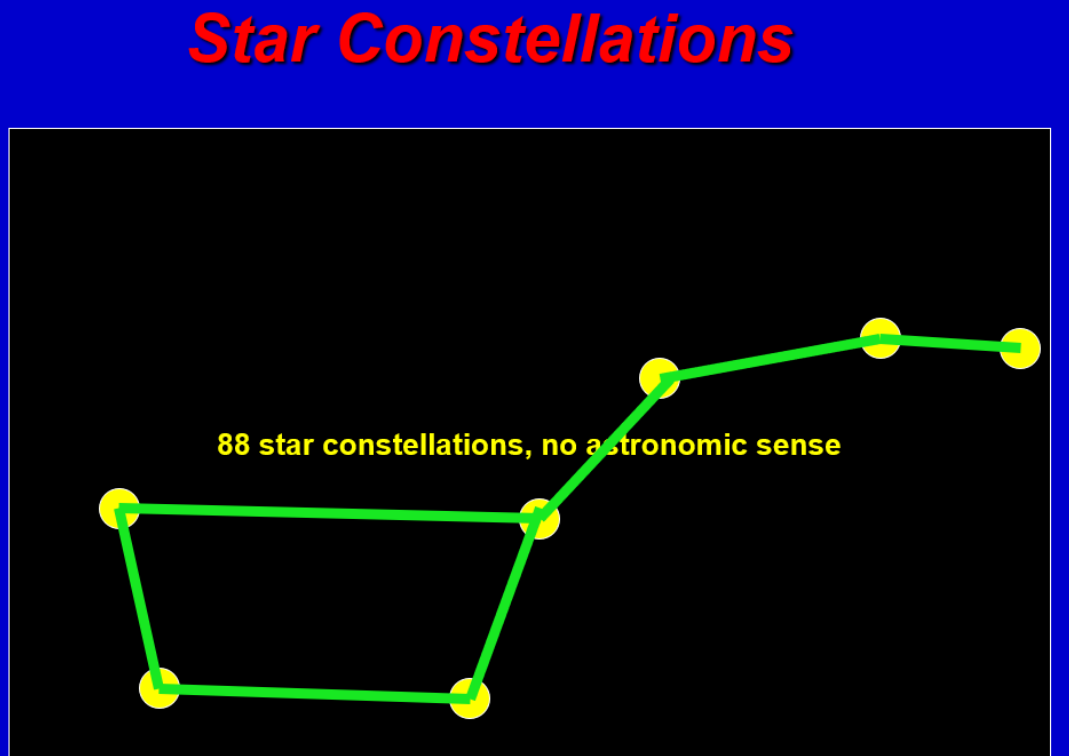
# 1D, 2D, many seeds, Voronoi, post office



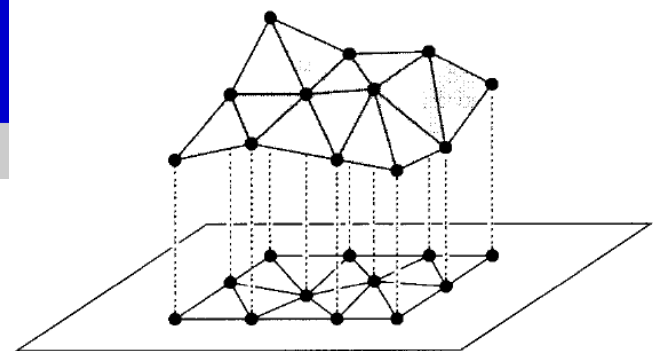
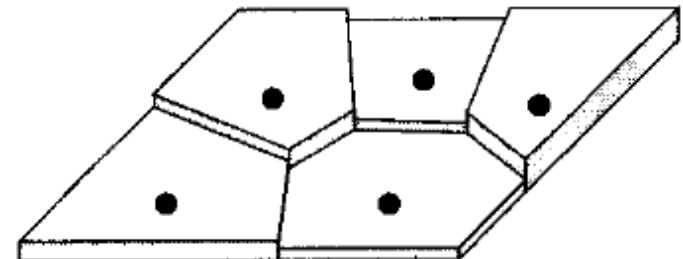
*Figure 9.2*  
Obtaining a polyhedral terrain from a  
set of sample points



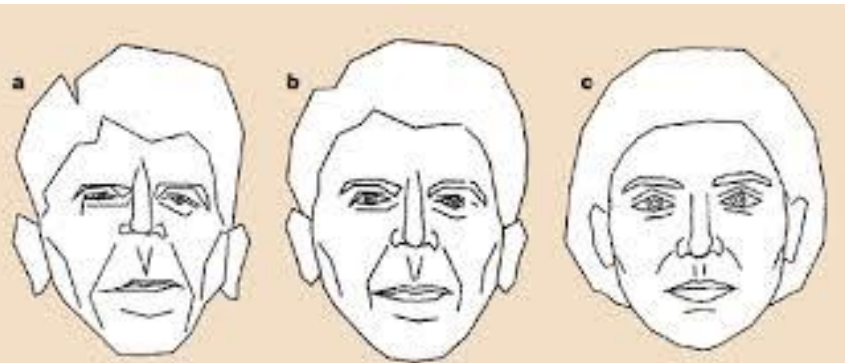
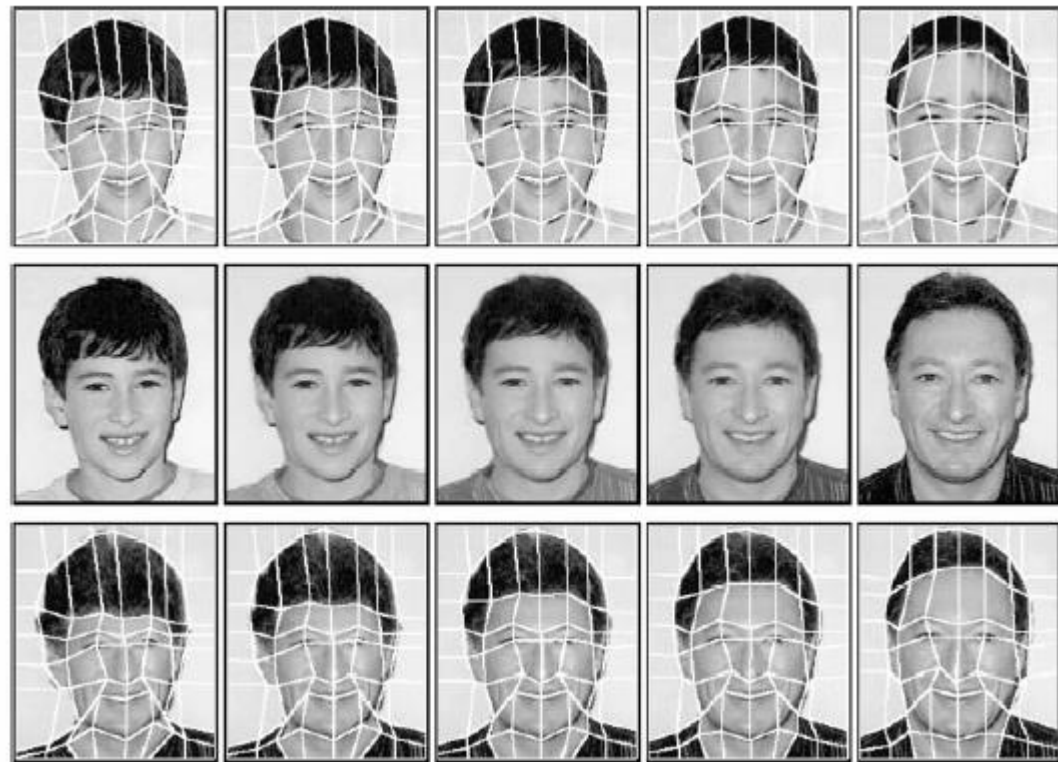
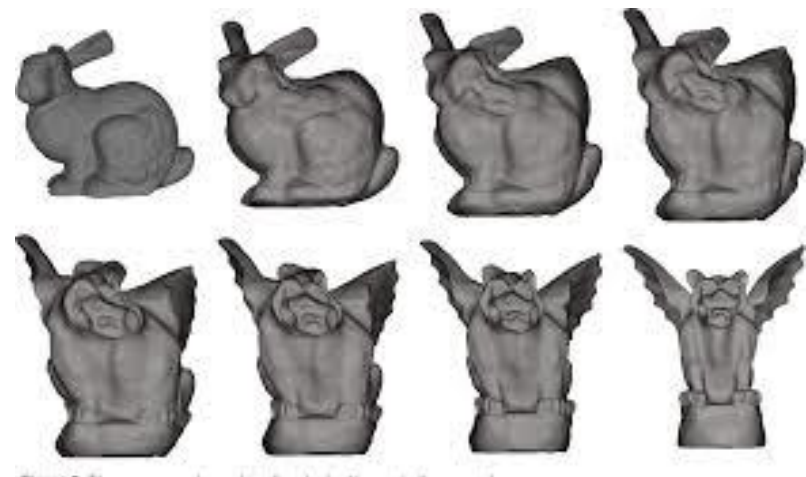
# Subjective Edges... terrain, connecting dots



*Figure 9.2*  
Obtaining a polyhedral terrain from a  
set of sample points



# Morphing, warping



# Autostitch

- [BL03]



*25 of 57 images aligned*



*All 57 images aligned*



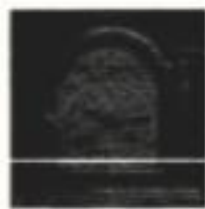
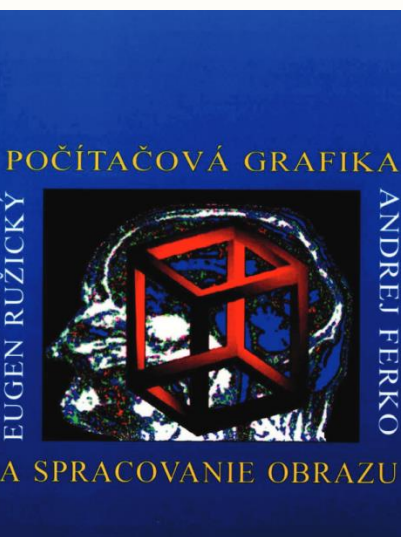
*Final Result*

- <http://matthewalunbrown.com/autostitch/autostitch.html>

# From digital image (Ruzicky) to IBR (OpenCV pipeline)

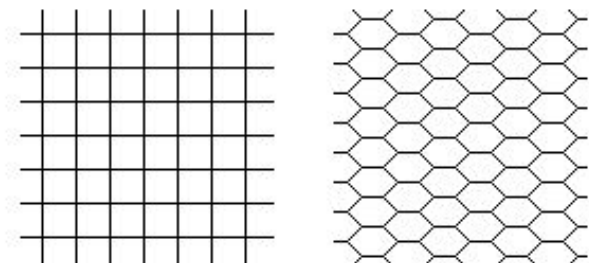


Obr. 6.1 Obrazová funkcia získaná vzorkovaním



Matematické základy spracovania obrazu .....	75
6.1. Úvod do Fourierovej transformácie .....	75
6.2. Diskrétna Fourierova transformácia .....	78
6.3. Niektoré vlastnosti Fourierovej transformácie .....	82
Jasová korekcia a filtrácia obrazu .....	87
7.1. Úvod .....	87
7.2. Jasová korekcia .....	87
7.3. Zlepšenie obrazu pomocou histogramu .....	89
7.4. Filtrácia .....	95
7.5. Vyhľadanie obrazu .....	98
7.6. Ostrenie obrazu .....	102
Segmentácia a hranica obrazu .....	107
8.1. Úvod .....	107
8.2. Segmentácia prahovaním .....	107
8.3. Hranica a obrys binárneho obrazu .....	112
8.4. Segmentácia obrysom .....	120
8.5. Segmentácia narastaním oblasti .....	122
Morfologické transformácie a skelet .....	125
9.1. Úvod do morfológie .....	125
9.2. Konštrukcia elementárnych transformácií .....	126
9.3. Kostra (skelet) množiny .....	131
9.4. Základné pojmy .....	131
9.5. Algoritmy skeletovania .....	135

# Digital Image



Štvorcová a hexagonálna vzorkovacia mriežka.

## 1.2 Vlastnosti digitálneho obrazu

V tejto učebnici slovo **obraz**, alebo šedotónový obraz bude vyjadrovať dvojrozmernú jasovú funkciu  $f(x,y)$ . Definičným oborom obrazovej funkcie bude rovinná oblasť  $R$ :

$$R = \{(x, y), 0 \leq x \leq x_n, 0 \leq y \leq y_m\} \quad (1)$$

kde  $x, y$  sú celé čísla,  $x_n, y_m$  sú maximálne súradnice. Obor hodnôt je celočiselná množina jasových hodnôt.

V digitálnom obraze môžeme zaviesť **vzdialenosť** medzi dvoma bodmi. Nech  $(i,j)$   $(k,l)$  sú dva obrazové elementy, potom vzdialenosť môžeme definovať nasledujúcimi spôsobmi:

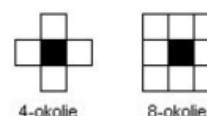
$$D_E = \sqrt{(i - k)^2 + (j - l)^2} \quad (2)$$

$$D_4 = |i - k| + |j - l| \quad (3)$$

$$D_8 = \max(|i - k|, |j - l|) \quad (4)$$

Kde  $D_E$  je Euklidovská vzdialenosť, ktorá ale nie je vhodná pre diskrétny obraz, lebo nemusí vrátiť celé číslo. Vzdialosti  $D_4, D_8$  určujú najmenší počet jednotkových krokov pre prechod z jednej súradnice do druhej v mriežke. V prípade  $D_4$  posun je povolený len vo zvislom alebo vo vodorovnom smere. V prípade  $D_8$  sú povolené aj diagonálne pohyby.

Ďalším dôležitým pojmom je **susednosť**. Rozlišujeme **4-susednosť** a **8-susednosť**. 4-susedia daného obrazového elementu sú body s jednotkovou vzdialenosťou v  $D_E$  alebo v  $D_4$ . Tiež sa hovorí **4-okolie**, alebo **8-okolie**.

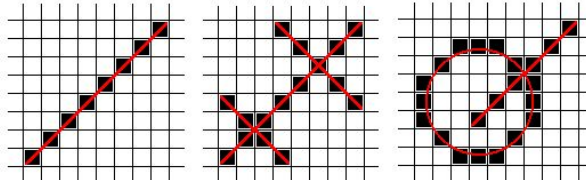


# Digital Image Properties

Oblast' je súvislá množina obrazových elementov, pre ktorú platí, že medzi každými dvoma bodmi existuje cesta patriaca celá do tejto množiny. Predpokladajme, že  $R_i$  sú oblasti obrazu. Nech  $R$  je oblast' ktorá vznikne zjednotením všetkých oblastí  $R_i$ . Potom  $R^C$  je množinovým doplnkom oblasti  $R$ , nazývame ho pozadím.

Objekty sú oblasti, ktoré obvykle odpovedajú entitám zobrazovaného sveta. V jednoduchom praktickom prípade, keď má bod jas väčší ako určitý prah, priradíme ho k objektu.

Súvislosť a susednosť definovaná na diskrétnej štvorcovej mriežke nás priviedie k určitým paradoxom. Predstavme si úsečku s 45 stupňovým sklonom v digitálnom obrazu. Ak uvažujeme 4-susednosť, potom táto úsečka je v každom svojom bode nesúvislá. Ďalším paradoxom je, že dve pretínajúce sa úsečky v digitálnom obrazu sa len dotýkajú.



a) v prípade 4-susednosti, úsečka je v každom svojom bode nesúvislá.

b) v pravo hore sa úsečky pretínajú, kým ľavo dole sa len dotýkajú, t.j. nemajú spoločný bod.

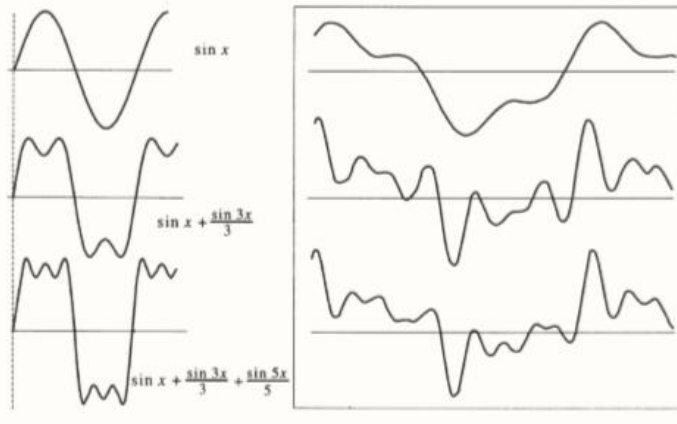
c) z euklidovskej geometrie platí, že uzavretá krvka deli priestor na dve časti. V digitálnom obrazu to ale nemusí byť pravda. Na obrázku vidime kruh, t.j. uzavretú krvku, a úsečku ktorá ju nepretína, ale spája body z vnútra s bodmi z vonkajška.

Jedným riešením pre tieto parodoxy je použiť 8-susednosť pre objekty a 4-susednosť pre pozadie. Je to ale nepraktické riešenie. Ďalšou možnosťou je použiť hexagonálnu mriežku, v ktorej parodoxy nevznikajú. Narazíme ale na realizačný problém, pretože väčšina grafických zariadení podporuje štvorcový raster.

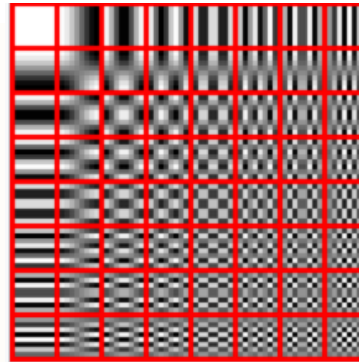
Pod pojmom **hranica oblasti** rozumie množinu všetkých bodov, ktoré majú aspoň jedného suseda, ktorý nepatrí do oblasti. V digitálnom obrazu rozlišujeme **vonkajšiu** a **vnútornú** hranicu. Pre vnútornú hranicu potom platí predošlá definícia. Vonkajšia hranica je hranicou pozadia.

DIP - Digital Image Processing, Interaktívna učebnica spracovania obrazu  
Copyright©2003-06 Gábor Blažnovits, Katedra aplikovanej informatiky FMTI UK Bratislava

[Ru], Wi, [Kalra]

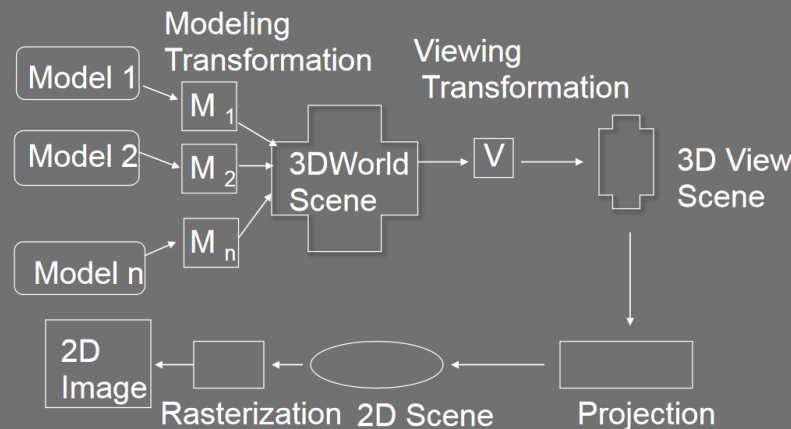


a) Obr. 6.2 Signál vyjadrený frekvenciou harmonických funkcií



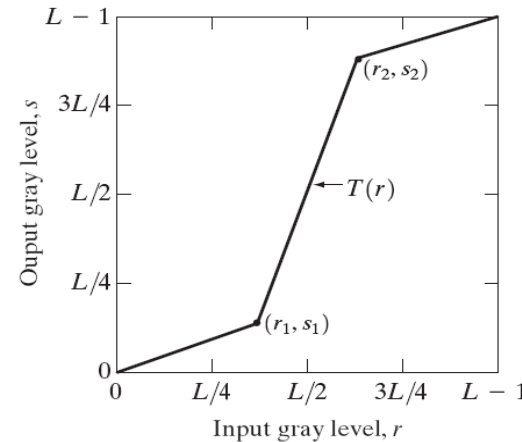
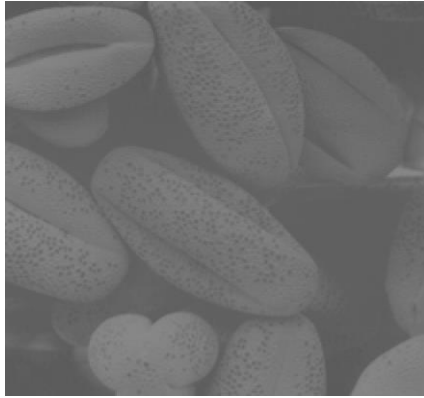
The DCT transforms an  $8 \times 8$  block of input values to a linear combination of these 64 patterns. The patterns are referred to as the two-dimensional DCT basis functions, and the output values are referred to as transform coefficients. The horizontal index is  $u$  and the vertical index is  $v$ .

## Graphics Rendering Pipeline



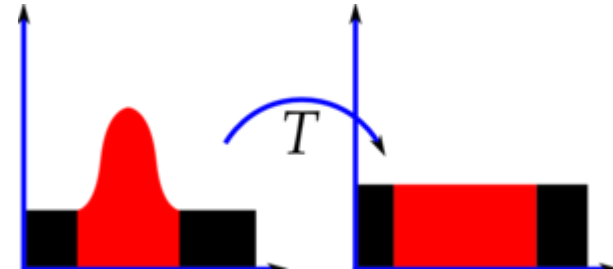
# Digital Image Processing (Low Level)

- The negative of an image with gray levels in the range [0,255],  $s = 255 - r$
- Contrast stretching by increasing the dynamic range [Benesova]

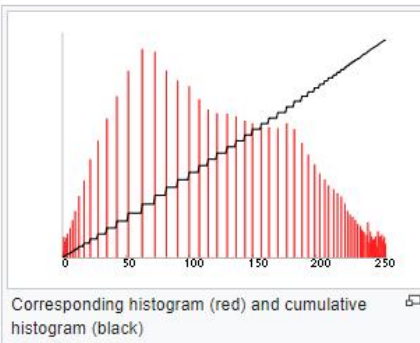
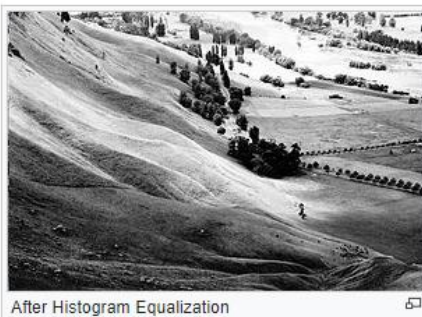
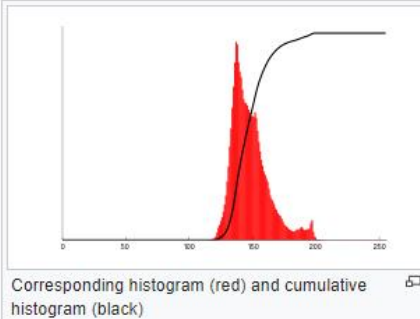


- The histogram of a digital image with gray levels in the range [0,  $L-1$ ] is a discrete function  $h(r_k) = n_k$ , where  $r_k$  is the  $k$ -th gray level and  $n_k$  is the number of pixels in the image having gray level  $r_k$  [Benesova] >> EQUALIZATION

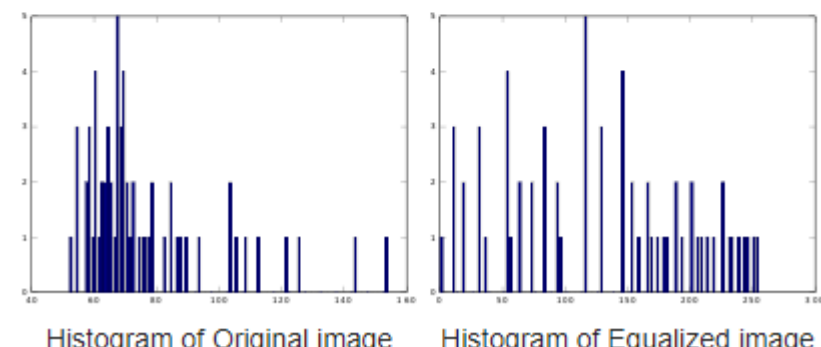
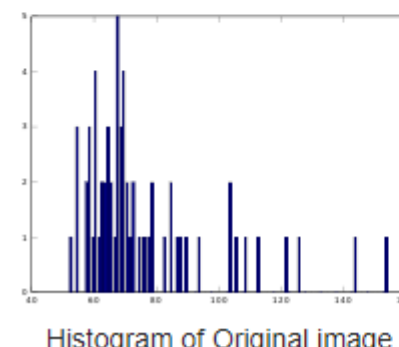
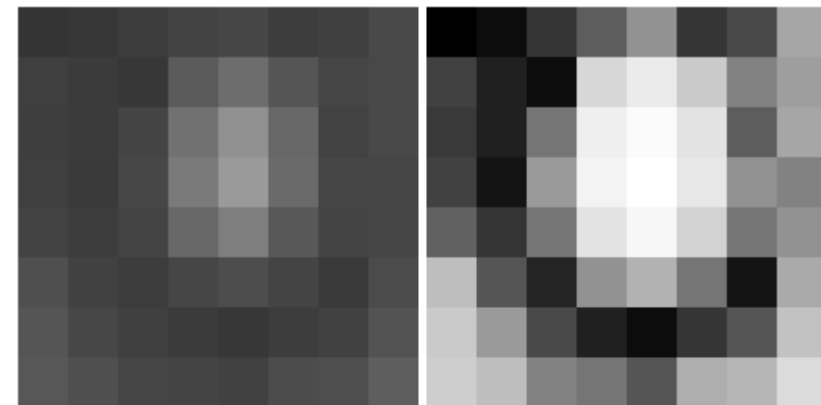
- Image averaging
- Image subtraction
- Smoothing/sharpening



# Histogram Equalization



[https://en.wikipedia.org/wiki/Histogram\\_equalization](https://en.wikipedia.org/wiki/Histogram_equalization)



# Digital Image Transformations

- Translation, rotation, scale, symmetry, skew >> dip.sccg.sk
- Pixel approximation: nearest neighbour (1 pixel), bilinear interpolation (4 pixels), bicubic interpolation (9 pixels)

V praxi sa táto rovnica nahradzuje bilineárnu transformáciou, alebo affinou transformáciou. Bilineárna transformácia má tvar:

$$\begin{aligned}x_1 &= a_0 + a_1x + a_2y + a_3xy \\y_1 &= b_0 + b_1x + b_2y + b_3xy\end{aligned}\tag{3}$$

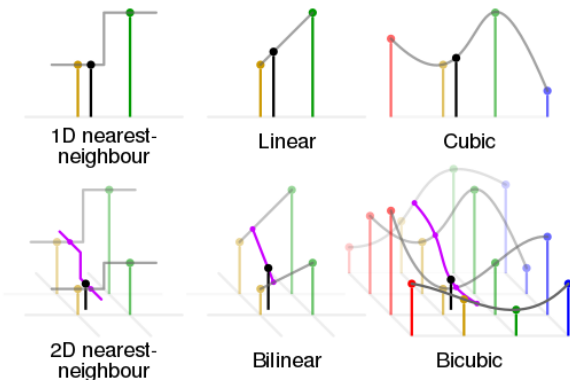
Na jeho určenie potrebujeme štyri dvojice vstupných a výstupných bodov.

Na určenie afinnej transformácie stačia tri dvojice bodov, a má tvar:

$$\begin{aligned}x_1 &= a_0 + a_1x + a_2y \\y_1 &= b_0 + b_1x + b_2y\end{aligned}\tag{4}$$

Pomocou homogénnych súradníc môžeme affiné transformácie vyjadriť v maticovom tvare

$$\begin{bmatrix}x_1 \\ y_1 \\ 1\end{bmatrix} = \begin{bmatrix}a_1 & a_2 & a_3 \\ b_1 & b_2 & b_3 \\ 0 & 0 & 1\end{bmatrix} \begin{bmatrix}x \\ y \\ 1\end{bmatrix}\tag{5}$$



[https://en.wikipedia.org/wiki/Bicubic\\_interpolation#/media/File:Comparison\\_of\\_1D\\_and\\_2D\\_interpolation.svg](https://en.wikipedia.org/wiki/Bicubic_interpolation#/media/File:Comparison_of_1D_and_2D_interpolation.svg)

- Fourier transform >> dip.sccg.sk, Ruzicky, Sikudova



# Spracovanie obrazu apl.

Andrej FERKO  
Comenius University Bratislava  
PG1, 7. 12. 2020, FMFI UK